

Е. И. ТРЕУШНИКОВ, В. В. ИЛЮХИН, академик Н. В. БЕЛОВ

**КРИСТАЛЛИЧЕСКАЯ СТРУКТУРА МЕТАСТАБИЛЬНОЙ ФАЗЫ
ЦЕМЕНТНОГО КЛИНКЕРА Ca-ХЛОРОРТОСИЛИКАТА $\text{Ca}_5[\text{SiO}_4]\text{Cl}_2$**

Применение CaCl_2 в качестве добавки к цементному клинкеру (в целях регулировки процесса твердения бетона) нередко вызывает коррозию арматуры с последующим разрушением бетонных изделий. Достаточно обоснована точка зрения, что при взаимодействии кальциевых силикатов с CaCl_2 (или HCl) в портланд-цементном клинкере возникают метастабиль-

Таблица 1

Координаты базисных атомов $\text{Ca}_5[\text{SiO}_4]\text{Cl}_2$

Атомы	<i>x</i>	<i>y</i>	<i>z</i>	Атомы	<i>x</i>	<i>y</i>	<i>z</i>
Ca_I	0,1955	0,7428	0,0453	Si	0,1209	0,2493	0,0306
Ca_{II}	0,0789	0,4565	0,2745	O_1	0,235	0,416	0,409
Ca_{III}	0,4286	0,2230	0,1118	O_2	0,022	0,069	0,003
Cl_1	0,5078	0,7899	0,1240	O_3	0,017	0,199	0,121
Cl_2	0,2833	0,8233	0,3174	O_4	0,017	0,189	0,393

ные Ca-хлорсиликаты, которые распадаются при гидратации. Выделяющийся активный Cl (или HCl) становится разрушающим агентом, и естествен интерес к строению этих неустойчивых соединений, в частности синтезированного * Ca-хлорсиликата $\text{Ca}_2\text{SO}_4 \cdot \text{CaCl}_2 = \text{Ca}_5[\text{SiO}_4]\text{Cl}_2$.

Монокристаллы $\text{Ca}_5[\text{SiO}_4]\text{Cl}_2$ быстро разрушались под воздействием рентгеновских лучей и при гидратации, и для сохранности образцы покрывались защитной лаковой пленкой. Все же для получения первоначальных сведений о ячейке и трехмерного набора экспериментальных интенсивностей пришлось использовать несколько образцов. Моноклинная ячейка с параметрами $a = 9,79$, $b = 6,76$, $c = 10,96$ Å, $\beta = 105^{\circ}24'$ содержит $Z = 4$ единицы $\text{Ca}_5[\text{SiO}_4]\text{Cl}_2$. Федоровская группа $C_{2h}^5 = P \frac{2_1}{c}$.

Трехмерная функция Патерсона $P(uvw)$ построена по ~ 1400 непуплевым отражениям $h0l - h5l$, $0kl - 1kl$ (МоКα-излучение, $\max \sin \theta/\lambda = 0,95$ Å⁻¹, интенсивности оценены по $\sqrt[4]{2}$ -шкале почернения). Поглощение не учитывалось ввиду изометричности образцов.

Большое число перекрытий и сосредоточение пиков в двух плоскостях на $v = 0$ и $v = 1/2$ (представляющееся следствием более закономерного расположения «средних» атомов Ca, Si, Cl) не позволило провести анализ патерсоновской функции по (¹). Выделение основной системы из векторной осуществлено методом кратных пиков. Из 6 атомов основной системы (3Ca, 2Cl, Si) непосредственно было выделено 5 при коэффициенте расходимости на первом этапе, равном 0,53. Эти 5 атомов (в предположении одинаковой рассеивающей способности у всех средних атомов) были отправными для

* В. Г. Чухланцев, Уральский Политехнический институт им. С. М. Кирова.

построения первого синтеза электронной плотности $\rho(xyz)$. Уточнение координат исходной пятерки снизило R до 0,40, добавление шестого катиона — до 0,32, а последующая дифференциация их по трем «сортам» — до 0,28. Остальные атомы локализованы в дальнейшем из цикла карт электронной плотности $\rho(xyz)$. Уточнение м.и.к. снизило $R_{\text{ав}}$ от 0,19 до 0,11 ($\max \sin \theta/\lambda = 0,95 \text{ \AA}^{-1}$ при изотропной тепловой правке $B_{\text{ав}} = -0,82 \text{ \AA}^2$).

Заключительные координаты базисных атомов сведены в табл. 1, а рассчитанные по ним межатомные расстояния — в табл. 2.

У атома Si в почти правильном тетраэдре расстояния $\text{Si}—\text{O} = 1,64—1,66 \text{ \AA}$ (средние 1,64₇) при ребрах тетраэдра $\text{O}—\text{O} = 2,61—2,83 \text{ \AA}$. Из трех независимых катионов Ca у первого Ca_1 7 соседей, расположенных по вершинам достаточно обычного полиэдра: тригональная призма плюс полуоктаэдр. В окружении Ca_1 четко выделяется ближняя координационная сфера (анионы O^{2-}) на расстояниях 2,29—2,41 \AA и анионы Cl^{1-} , удаленные на 2,88—2,96 \AA . У двух других катионов Ca_{11} и Ca_{111} при одинаковом координационном числе 6 окружение разное. Если вокруг Ca_{11} шесть кислородных лигандов образуют слегка искаженную тригональную призму, то координационный полигон для Ca_{111} — сильно искаженный октаэдр, который образован четырьмя анионами Cl^{1-} (2,80—3,03 \AA) и двумя O^{2-} (2,29 и 2,30 \AA).

Структура кальциевого хлорортосиликата представлена на рис. 1.

Основными архитектур-

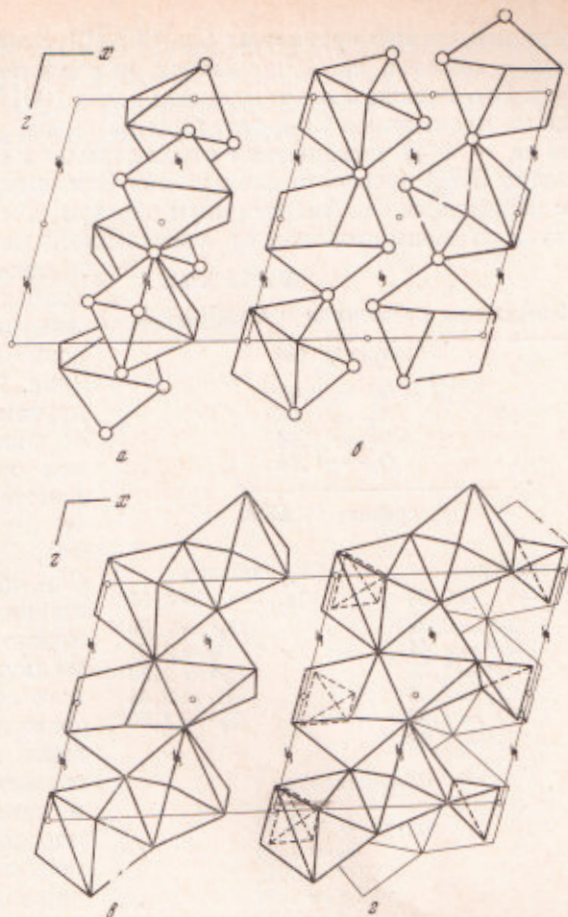


Рис. 1. $\text{Ca}_3[\text{SiO}_4] \cdot \text{Cl}_2$. Проекция структуры на плоскость xx в полигонах. Выделены колонки из Сап-полиэдров (a), Ca_1 -полиэдров (b), лента из $\text{Ca}_1 + + \text{Ca}_{11}$ (c) и стена (d). Анионы Cl отмечены кружками

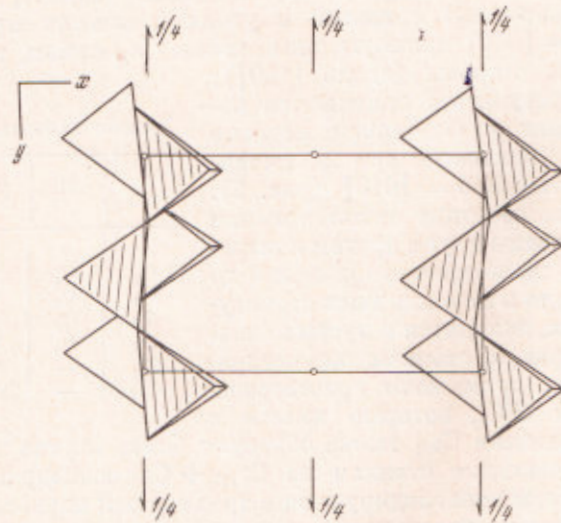


Рис. 2. Цепочки из Сап-призм вдоль двойной винтовой оси 2_1 [010]

ными элементами структуры $\text{Ca}_3[\text{SiO}_4]\text{Cl}_2$ можно считать бесконечные колонки — цепочки из Ca -полиэдров, каждая колонка из полиэдров одного сорта. Это прежде всего тянувшиеся вдоль [001] цепочки, в которых трансляционно идентичные Ca_{III} -октаэдры на одном уровне ($\sim b/4$, а параллельные на $\sim 3b/4$) чередуются с отраженными в «собственной» ($b/4$ и соответственно $3b/4$) плоскости скольжения. Эти октаэдры соединяются друг с другом вершинами Cl_1 . Аналогичным образом, т. е. располагаясь почти на одном уровне по обеим сторонам от «собственной» плоскости скольжения c , укладываются в более плотные колонки (параллельные только что описанным) и семивершинники Ca_1 . Но если цепочки из Ca_{III} -октаэдров (рис. 1а) располагаются друг над другом (по две вдоль периода b), то колонки из Ca_1 -семивершинников отодвинуты от средних Ca_{III} -цепочек то влево (на уровне $b/4$), то вправо (на уровне $3b/4$) (рис. 1б). На каждом уровне со своей Ca_{III} -цепочкой Ca_1 -семивершинники связаны плотно ребрами, так что можно говорить о планках, каждая из двух параллельных колонок разных сортов. Седьмые вершины Ca_1 -полиэдров и шестые (Cl_1) Ca_{III} -октаэдров позволяют им менее плотно связаться с Ca_{III} -цепочками выше и ниже лежащих планок (за счет плоскости c поочередно то с нижней, то с верхней). В результате параллельно плоскости yz (100) возникают стенки из Ca_{III} - и Ca_1 -полиэдров, немного ажурные, с центральными «плитами» (балками)

Таблица 2
Межатомные расстояния в $\text{Ca}_3[\text{SiO}_4]\text{Cl}_2$

Si-тетраэдр (\AA)	
Si — O ₁	1,66
O ₂	1,65
O ₃	1,64
O ₄ *	1,64
среднее	1,647 \AA
Ca_1 -полиэдр	
Ca_1 — O ₁	2,33
O ₂ *	2,29
O ₃ *	2,41
O ₄ *	2,38
Cl ₁	2,96
Cl ₂	2,93
Cl ₃ *	2,88
Ca_{II} -полиэдр	
Ca_{II} — O ₁	2,65
O ₂ *	2,56
O ₃	2,37
O ₄ *	2,36
Cl ₁	2,41
Cl ₂	2,39
Ca_{III} -полиэдр	
Ca_{III} — O ₁	2,29
O ₂	2,30
Cl ₁ *	2,82
Cl ₂ *	2,83
Cl ₃ *	3,03
Cl ₄ *	2,80

ми) из Ca_{III} -октаэдров и выступающими то в одну сторону (вдоль [100]), то в другую «ребрами жесткости» — колонками из Ca_1 -семивершинников. Между трансляционно-идентичными (вдоль [100]) и не связанными непосредственно стенками в узких просветах продолжают друг друга вдоль $b = [010]$ прямоугольные грани Ca_{III} -призм, тела которых смотрят в разные стороны (вдоль [100]); в результате получаются колонки из Ca_{III} -призм, надетые на винтовые оси 2_1 , параллельные $b = [010]$ (рис. 2). Две соседние такие колонки связаны друг с другом центральными симметриями, которые, как то часто в моноклинных структурах, находятся в пустых октаэдрах, к стенкам же последних примыкают ортотетраэдры SiO_4 , которые вместе с призмами Ca_{III} также образуют более тонкие и более ажурные стенки, параллельные стенкам из $\text{Ca}_{\text{III}} + \text{Ca}_1$ -полиэдров. Совместно чередующиеся стенки консолидируются в трехмерный каркас, выполняющий все кристаллическое пространство.

При весьма разнообразном окружении крупных катионов уравновешивание локального баланса валентностей (табл. 3) достигается за счет

Таблица 3
Баланс валентностей в структуре $\text{Ca}_3[\text{SiO}_4]\text{Cl}_2$

	Si	Ca_1	Ca_{II}	Ca_{III}	Σ
O ₁	$4/4$	$2/7$	$2/6$	$2/6$	$2-2/42$
O ₂	$4/4$	$2/7$	$2/6$	$2/6$	$2-2/42$
O ₃	$4/4$	$2/7$	$2 \times 2/6$	—	$2-2/42$
O ₄	$4/4$	$2/7$	$2 \times 2/6$	—	$2-2/42$
Cl ₁	—	$2/7$	—	$3 \times 2/6$	$4+2/7$
Cl ₂	—	$2 \times 2/7$	—	$2/6$	$1-4/24$

участия в каждой вершине обязательно трех полиэдров Са. При существенно разных длинах связей Са — О и Са — Cl это приводит к искажению полиэдров и, как следствие, к малой устойчивости каркаса и вызывает разрушение связей Са — Cl при гидратации соединения.

Институт кристаллографии
Академии наук СССР
Москва

Поступило
16 III 1970

ЦИТИРОВАННАЯ ЛИТЕРАТУРА

- ¹ С. В. Борисов, Кристаллография, 9, 603 (1964).